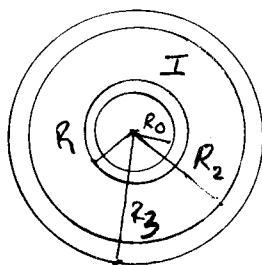


Princípio básico de funcionamento do gerador eletrostático van de Graaff.

Consideremos duas cascas esféricas condutivas

(*) Isto é uma consequência do fato das cascas serem condutoras (em equilíbrio) e da lei de Gauss.



1. Casca interna carregada com carga q_1 , e a casca externa descarregada.

A carga q_1 estará distribuída sobre a superfície de raio R_1 (superfície externa da casca interna)

O campo entre as cascas (região I) é dado por

$$E_I = \frac{q_1}{4\pi\epsilon_0 r^2} \quad R_1 < r < R_2$$

No equilíbrio eletrostático o campo no interior da casca externa ($R_2 < r < R_3$) deve ser nulo

⇒ Haverá uma redistribuição da carga na casca externa de modo que na superfície de raio R_2 aparecerá uma carga $-q_1$. Por conseguinte, na superfície de raio R_3 aparecerá uma carga $+q_1$. Isto decorre do uso da lei de Gauss para superfícies

(2)

$$\text{Gaussiana de raio } R_2 < r < R_3 : \oint \vec{E} \cdot d\vec{l} = 0 = \frac{Q}{\epsilon_0}$$

onde Q é a carga contida no volume delimitado pelo esp. Gaussiano. $Q = q_1 + q' \Rightarrow q' = -q_1$.

Por conservação de carga é levando-se em conta que originalmente a casca externa estava neutra, \Rightarrow se aparece uma carga $-q_1$ na esp. de raio R_2 , vai aparecer uma carga $+q_1$ na esp. de raio R_3 .

A d.d.p. entre R_1 e R_2 é dada por

$$V_1 - V_2 = \int_{R_1}^{R_2} \vec{E} \cdot d\vec{l} = \frac{q_1}{4\pi\epsilon_0} \int_{R_1}^{R_2} \frac{dr}{r} = \frac{q_1}{4\pi\epsilon_0} \left(-\frac{1}{r} \right) \Big|_{R_1}^{R_2}$$

$$= \frac{q_1}{4\pi\epsilon_0} \left(\frac{1}{R_1} - \frac{1}{R_2} \right)$$

Como $R_1 < R_2 \Rightarrow \frac{1}{R_1} > \frac{1}{R_2}$: Supondo $q_1 > 0$ temos

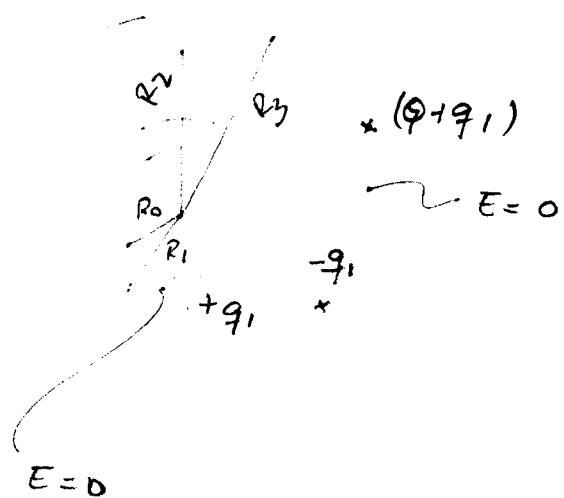
$V_1 > V_2$. Se conectarmos as superfícies de raio R_1 e R_2 por um fio condutor, a carga em R_1 fluirá para R_2 . O excesso de carga na casca externa terminará na esp. externa de raio R_3 .

no equilíbrio eleostático

Isto pq o campo elétrico na região $R_2 < r < R_3$ deve ser nulo no equilíbrio eleostático.

(3)

2. Suponha agora que a casca externa V_0 tem
um excesso de carga Q e que a casca interna
também tem um excesso de carga q_1 . Nesse caso, a
distribuição de carga, no equilíbrio elestatítico
será:



$+q_1$ na esp. de raio R_1 ,

$-q_1$ na esp. de raio R_0

$Q+q$ na esp. de raio R_2 .

$$\text{A d.d.p. } V_1 - V_2 = \frac{q_1}{4\pi\epsilon_0} \left(\frac{1}{R_1} - \frac{1}{R_2} \right)$$

(Basta repetir o mesmo raciocínio anterior)

Segundo acima, mas importe à a casca externa já
ter um excesso de carga. Nessa situação, se
conectarmos as superfícies de raios R_1 e R_2 com
um fio condutor, fluirá carga de $R_1 \rightarrow R_2$ e
o excesso de carga terminará (no equilíbrio
elestatítico) na esp. mais externa de raio R_3 .

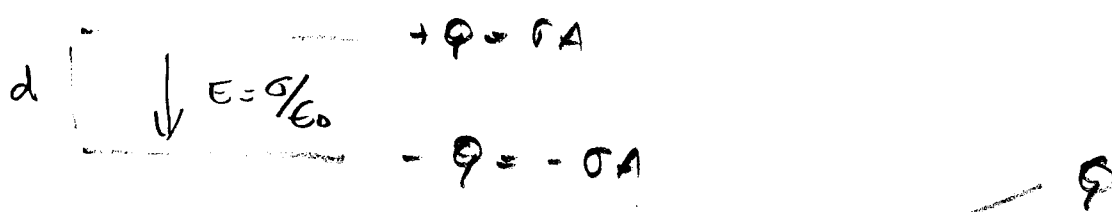
Repete todo esse raciocínio supondo que a carga $q_1 < 0$.

O resultado final é o mesmo!

Visitem a Casa de Descoberto (situada no andar 2º) para ver, inspecionar, brincar e ouvir as explicações sobre o funcionamento do acelerador van de Graaff.

Capacitâncias e capacitores

Capacitor de placas planas e paralelas



$$E = \frac{\sigma}{\epsilon_0} \quad \Delta V = V_+ - V_- = Ed = \frac{\sigma}{\epsilon_0} d = \frac{Q}{\epsilon_0 A} d$$

$$V = \frac{Qd}{\epsilon_0 A} \Rightarrow V \propto Q$$

$$\text{Definimos Capacitância } C = \frac{Q}{V}$$

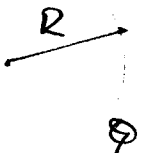
$$\text{No caso } C = \frac{\epsilon_0 A}{d} \quad \text{Note que a capacidade}$$

mai depende nem de V nem de Q , apena de fatores geométricos e, vezemos mais adiante da permissividade elétrica (ϵ) do dieletônico existente entre as "placas" do capacitor.

(5)

Unidade 1 Farad = $1 \frac{\text{Coulombs}}{\text{Volt}}$

Capacitância de uma esfera condutora.



Potencial na sup. da esfera $V = \frac{Q}{4\pi\epsilon_0 R}$

$$C = \frac{Q}{V} = \frac{Q}{4\pi\epsilon_0 R} \quad C \propto R.$$

aumenta com o raio da esfera.

$$\epsilon = \frac{1}{4\pi\epsilon_0} \approx 8.99 \times 10^9 \frac{\text{Nm}^2}{\text{C}^2} \Rightarrow C \approx \frac{R}{9 \times 10^9} \left(\frac{\text{C}^2}{\text{Nm}^2} \right)$$

Para que $C = 1 \text{ F} \Rightarrow R \approx 9 \times 10^9 \text{ m} = 9 \times 10^6 \text{ km}$

Raio da Terra $\approx 6 \times 10^3 \text{ km}$!

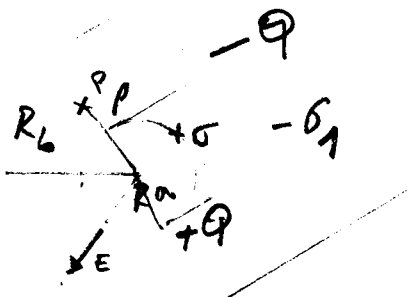
Para que a capacidade de um capacitor de placas planas e paralelas, separadas por uma distância $d \approx 1 \times 10^{-3} \text{ m}$ (1mm) seja 1 F , a área das placas terá que ser de 100 km^2 ou área do Niterói !

$$\approx 140 \text{ km}^2$$

Os capacitores usados são medidas em μF ou pF .

$$10^6 \text{ F} \quad 10^{-12} \text{ F}$$

Capacitores cilíndricos



Dois cilindros coaxiais
de raios R_a e R_b

Campo elétrico no topo

$$R_a < \rho < R_b$$

Desidando superfícies de carga $+\sigma$ e $-\sigma_1$
respectivamente. Note que $\sigma_1 \neq \sigma$ para que as cargas
sejam $+Q$ e $-Q$ respectivamente.

Lei de Gauss

$$\int \vec{E} \cdot d\vec{s} = \frac{Q}{\epsilon_0} = E \cdot 2\pi\rho L = \frac{Q}{\epsilon_0}$$

áre de sup. Gaussiana

$$Q = \sigma * 2\pi R_a L \Rightarrow E = \frac{\sigma}{\epsilon_0} \frac{2\pi R_a L}{\ln(\frac{R_b}{R_a})} = \frac{\sigma R_a}{\epsilon_0 \ln(\frac{R_b}{R_a})}$$

A d.d.p. entre as superfícies de raios R_a e R_b
é dada por

$$V = V_+ - V_- = \int_{R_a}^{R_b} E \cdot dl = \frac{\sigma R_a}{\epsilon_0} \ln\left(\frac{R_b}{R_a}\right)$$

$$\Rightarrow V = \frac{\sigma R_a}{\epsilon_0} \ln\left(\frac{R_b}{R_a}\right)$$

$$C = \frac{Q}{V} = \frac{\sigma 2\pi R_a L}{\sigma R_a \ln\left(\frac{R_b}{R_a}\right)} \epsilon_0 = \frac{2\pi \epsilon_0 L}{\ln\left(\frac{R_b}{R_a}\right)}$$

$$R_b = R_a + d$$

distância entre as superfícies

$$\text{Se } d \ll R_a \quad \frac{R_b}{R_a} = \frac{R_a + d}{R_a} = 1 + \frac{d}{R_a}$$

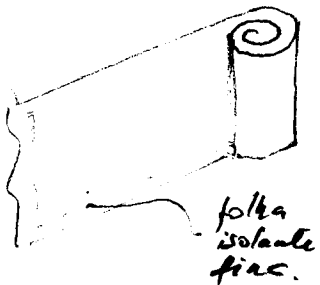
$$\ln(1+x) \approx x \text{ se } x \ll 1 \Rightarrow \ln\left(\frac{R_b}{R_a}\right) \approx \frac{d}{R_a}$$

Nesse caso $\boxed{C = \frac{2\pi \epsilon_0 L}{d} R_a}$

$$2\pi R_a L = \text{área da superfície lateral} \Rightarrow C \approx \frac{\epsilon_0 A}{d}$$

folha metálica
fina

como em um capacitor de placas planas.



folha
metálica
fina.

Sobrepondo uma folha metálica (condutora) com uma de um material isolante (dieletônico)

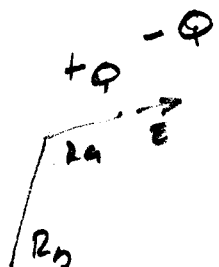
- enrolando, conseguimos uma área lateral muito grande (de forma compacta, se a folha metálica e isolante forem suficientemente finas). Assim temos alguns capacitores comerciais

Garrafa de Leiden



Capacitor esférico

Na região $R_a < r < R_b$



$$\vec{E} = \frac{Q}{4\pi\epsilon_0 r^2} \hat{r}$$

$$V = \Delta V = V_+ - V_- = \int_{R_a}^{R_b} \vec{E} \cdot d\vec{l} = \frac{Q}{4\pi\epsilon_0} \int_{R_a}^{R_b} \frac{1}{r^2} dr$$

$$V = \frac{Q}{4\pi\epsilon_0} \left(\frac{1}{R_a} - \frac{1}{R_b} \right)$$

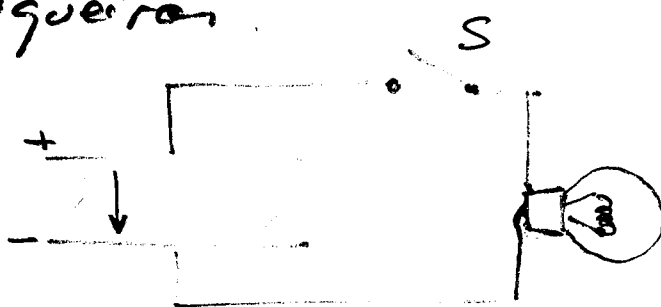
$$C = \frac{Q}{V} = \frac{4\pi\epsilon_0}{R_b - R_a} \left(\frac{R_a R_b}{R_a + R_b} \right)$$

Mais vêe vez, se $R_b = R_a + d$ e $d \ll R_a$

$$C \approx \frac{\epsilon_0 A}{d} \quad \text{onde } A = 4\pi R_a^2$$

$\lim_{R_b \rightarrow \infty} C = 4\pi\epsilon_0 R_a$
Mesmo resultado
obtido anteriormente

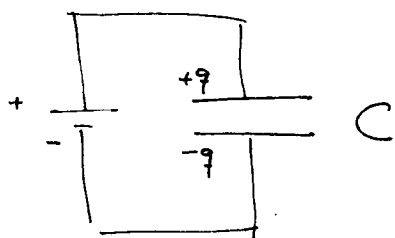
A capacidade de armazenar cargas elétricas nas placas de um capacitor e gerar corrente elétrica quando as placas são conectadas por um fio condutor tem aplicações tecnológicas corriqueiras.



Flash de máquina
fotográfica por
exemplo.

d.d.p. muito alto e correntes elétricas muito intensas podem ser fornecidas em capacitores.

Energia armazenada em um capacitor.



Para incrementar a carga no capacitor de um valor dq necessitamos efectuar um trabalho $dW = Vdq$
 $V = \text{d.d.p. nos terminais do capacitor}$.

$$V = \frac{q}{C} \Rightarrow dW = \frac{qdq}{C}$$

$$W = \int_0^Q \frac{qdq}{C} = \frac{Q^2}{2C} \quad \text{ou} \quad (\text{usando que } Q=CV)$$

$$W = \frac{CV^2}{2C} = \frac{1}{2}CV^2 \quad \text{ou} \quad (\text{usando } Q=CV)$$

$$W = \frac{1}{2} QV$$

Para um capacitor de placas planas e paralelas,

$$C = \frac{\epsilon_0 A}{d} \Rightarrow W = \frac{1}{2} \frac{\epsilon_0 A}{d} V^2 = \frac{1}{2} \frac{\epsilon_0 A d}{r} \left(\frac{V^2}{d^2} \right)$$

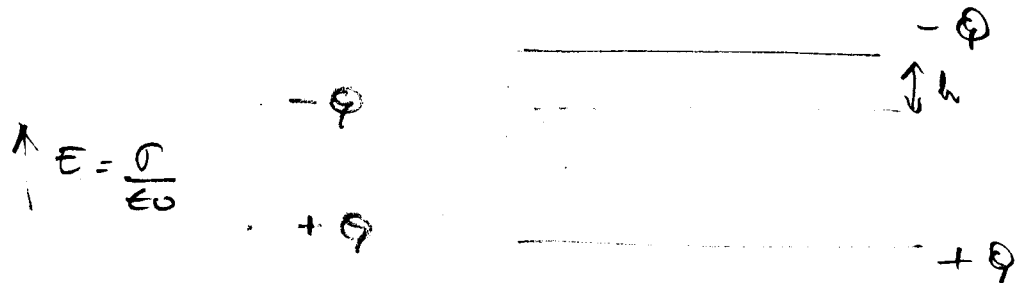
$$U = W = \frac{1}{2} \epsilon_0 v \left(\frac{V^2}{d^2} \right) \quad \begin{matrix} \text{volume } v \\ \text{entre as placas} \end{matrix}$$

$$\Rightarrow \frac{U}{v} = n = \text{densidade de superfíc.} = \frac{1}{2} \epsilon_0 \frac{E^2 d^2}{d^2} = \frac{1}{2} \epsilon_0 E^2$$

$$\boxed{U = \frac{1}{2} \epsilon_0 E^2}$$

sugere que podemos pensar que a energia é, também armazenada no campo elétrico entre as placas.

Outra abordagem:



Afastar as placas. O trabalho realizado por um agente externo para fazer isso é dado por

$$- E_+ \cdot h \cdot (-Q) \quad \text{carga da placa (-)}$$

sendo (-) pq
é o trabalho feito pelo agente externo.

$$\left. \begin{array}{l} E_+ = \frac{\sigma}{2\epsilon_0} \\ Q = \sigma A \end{array} \right\} \Rightarrow W = \frac{\sigma}{2\epsilon_0} \cdot h \cdot \sigma A = \frac{1}{2} \left(\frac{\sigma}{\epsilon_0} \right) h \left(\frac{\sigma}{\epsilon_0} \right) \epsilon_0 A$$

$$= \frac{1}{2} E^2 h \epsilon_0 A \quad \text{onde}$$

$$hA = \Delta V \Rightarrow \frac{W}{\Delta V} = \boxed{W = \frac{1}{2} \epsilon_0 E^2}$$

densidade de energia gasta para criar campo na região Ah (antes não havia campo ali!)

$E = \frac{\sigma}{\epsilon_0}$
campo total na região entre as placas.

$$\text{Capacitor esférico} \quad C = \frac{4\pi\epsilon_0}{R_a + R_b} \left(\frac{R_a R_b}{R_a + R_b} \right)$$

$$U = \frac{Q^2}{2C} ; \text{ lim}_{R_b \rightarrow \infty} C = 4\pi\epsilon_0 R_a$$

/

esfera isolada de raio R_a

$$U = \frac{Q^2}{8\pi\epsilon_0 R_a} . \text{ Por outro lado } V = \frac{Q}{4\pi\epsilon_0 R_a}$$

/

potencial

na reg. de espaço

$$\Rightarrow U = \frac{1}{2} QV.$$

/

Trabalho realizado para carregar a esfera.

Mais vale ver podemos imaginar que a energia é armazenada no campo. No caso, existe campo em todo o espaço.

$$u(r) = \frac{\epsilon_0}{2} E^2(r) = \frac{\epsilon_0}{2} \left(\frac{Q}{4\pi\epsilon_0 r^2} \right)^2$$

Em um volume $dr = 4\pi r^2 dr$, temos uma energia

$$dU = u dr = \frac{\epsilon_0}{2} \left(\frac{Q}{4\pi\epsilon_0 r^2} \right)^2 4\pi r^2 dr = \frac{Q^2}{8\pi\epsilon_0 r^2} dr$$

$$U = \int_R^\infty \frac{Q^2}{8\pi\epsilon_0} \frac{1}{r^2} dr = \frac{Q^2}{8\pi\epsilon_0 R} = \frac{1}{2} QV . //$$

Associação de capacitores

- Em paralelo

$$\sqrt{\frac{1}{\frac{q_1}{C_1} + \frac{1}{\frac{q_2}{C_2}}}} = \frac{q}{C_{eq}}$$

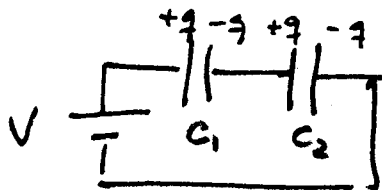
$$q = q_1 + q_2$$

$$q = C_{eq}V = q_1V + q_2V$$

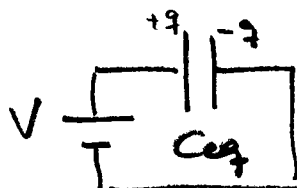
$$\sqrt{\frac{1}{\frac{1}{C_1} + \frac{1}{C_2}}} = C_{eq}$$

$$\boxed{C_{eq} = C_1 + C_2}$$

- Em série



$$V = V_1 + V_2 \Rightarrow \frac{q}{C_{eq}} = \frac{q_1}{C_1} + \frac{q_2}{C_2}$$

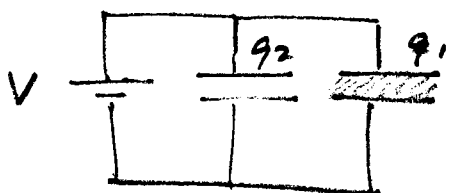


$$\boxed{\frac{1}{C_{eq}} = \frac{1}{C_1} + \frac{1}{C_2}}$$

Faraday :

Dieletéticos : verificações experimentais

Dos capacitores carregados com a mesma ddp; um com dieletônico outro sem



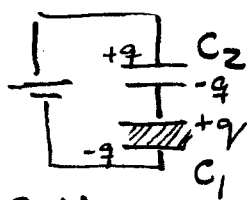
A carga no capacitor com dieletônico é maior.

$$C = q/V \Rightarrow q = CV$$

$$q_1 > q_2 \Rightarrow \boxed{C_1 > C_2}$$

$$q_1/q_2 = C_1/C_2 = K - \text{cte dieletônico} .$$

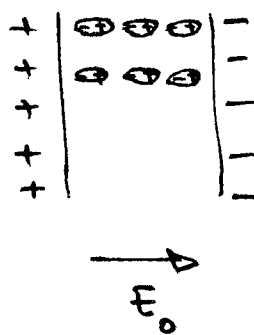
Colocando o mesmo carregamento em C_1 e C_2



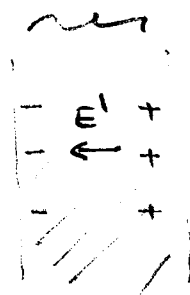
$$\text{Experimenta-se } V_1 < V_2 ; q = C_1 V_1 \leftarrow q = C_2 V_2$$

$$\Rightarrow \frac{C_1}{C_2} = \frac{V_2}{V_1} \Rightarrow K = \frac{V_2}{V_1} \Rightarrow \boxed{V_1 = \frac{V_2}{K}}$$

Dielettrico



Dielettrico



Separação entre os centros das cargas é relativamente muito pequena.

\rightarrow VIRE

$$\vec{E} = \vec{E}_0 + \vec{E}'$$

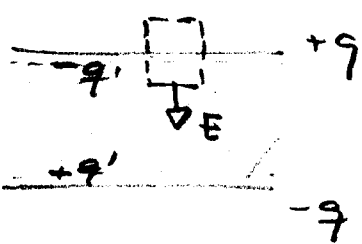
$$E < E_0 \Rightarrow \Delta V < \Delta V_0$$

$$\left\{ \begin{array}{l} E = \frac{E_0}{K} \\ \Delta V = \frac{\Delta V_0}{K} \end{array} \right.$$

na presença de dielettrico

na ausência de dielettrico

Lei de Gauss na presença de dieletrio.



$$\int \vec{E} \cdot d\vec{s} = \frac{q}{\epsilon_0}$$

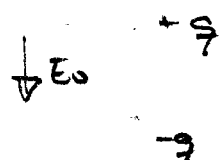
$$E \cdot A = \frac{q - q'}{\epsilon_0}$$

$$q = q - q'$$

carregue superficial no dielettrico
(induzida pelo campo E_0)

$$\Rightarrow E = \frac{q}{\epsilon_0 A} - \frac{q'}{\epsilon_0 A}$$

$$\left\{ \begin{array}{l} E = \frac{E_0}{K} \\ E_0 = \frac{q}{\epsilon_0 A} \end{array} \right.$$



$$\Rightarrow E = \frac{q}{K \epsilon_0 A}$$

carga livre (na placa condutora)

Átomo de hidrogênio

campo do protão sobre o elétron

$$E = \frac{kq}{r_0^2} \quad r_0 \approx 0.5 \times 10^{-10} \text{ m}$$
$$q = 1.6 \times 10^{-19} \text{ C}$$

$$E \approx 6 \times 10^{11} \frac{\text{V}}{\text{m}} = 6 \frac{\text{GV}}{\text{cm}}$$

Isto é enorme!

Um campo externo de 60 kV/cm é considerado um campo muito intenso para ser gerado em um laboratório.

Um campo desse poderia dar deslocamento de $\approx 10^{-5} r_0$.



$$\frac{q}{k\epsilon_0 A} = \frac{q}{\epsilon_0 A} - \frac{q'}{\epsilon_0 A} \Rightarrow q' = q \left(1 - \frac{1}{k}\right)$$

$$\oint \vec{E} \cdot d\vec{s} = \frac{q - q'}{\epsilon_0} = \frac{q}{k\epsilon_0}$$

$$q - q' = \frac{q}{k}$$

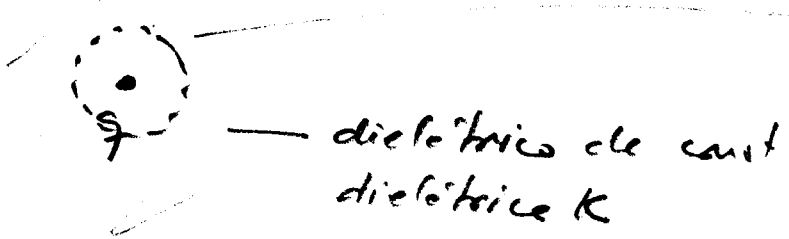
$$k\epsilon_0 = \epsilon$$

$$\oint \vec{E} \cdot d\vec{s} = \frac{q}{\epsilon} + \text{carga livre}$$

$$\epsilon = k\epsilon_0$$

$k=1$ no vácuo $\Rightarrow \epsilon = \epsilon_0$ no vácuo.

O efeito da polarização do dieletônico já este 'sendo levado em conta quando substituimos ϵ_0 por $\epsilon = k\epsilon_0$.
 Isto é bastante geral (não apenas para o caso de campo uniforme gerado por placas planas)



Lei de Gauss

$$\oint \vec{E} \cdot d\vec{s} = \frac{q}{\epsilon}$$

carga livre
apenas.

$$\frac{q}{\epsilon_0 A} = \frac{q}{K\epsilon_0 A} + \frac{q'}{\epsilon_0 A}$$

$\left(\frac{q}{A} \right)$ - carga superficial indutiva

$$\rightarrow \equiv P$$

densidade de carga superficial

polarização.

- Quanto maior for a carga superficial indutiva, maior será a polarização P .

$$P = \frac{q'd}{Ad} \quad \begin{matrix} \text{momento de dipolo} \\ \text{de carga indutiva} \end{matrix}$$

/
volume do dieletróico.

Densidade volumétrica de dipólos indutivos

$$\epsilon_0 = \frac{q}{\epsilon_0 A} \quad \frac{\epsilon_0}{K} = \epsilon = \frac{q}{K\epsilon_0 A}$$

$$\frac{q}{A} = \epsilon_0 \left(\frac{q}{K\epsilon_0 A} \right) + \frac{q'}{A}$$

campo de
polarização
do dieletróico

$$D = \epsilon_0 E + P$$

/
deslocamento elétrico.

$$\boxed{D = \epsilon_0 \vec{E} + \vec{P}}$$

campo de deslocamento elétrico

Os vetores \vec{D} e \vec{P} podem ser expressos em termos de \vec{E} .

$$D = \frac{q}{A} = \frac{q}{\kappa \epsilon_0 A} \underset{\epsilon}{\cancel{\kappa}} \epsilon_0 = E \underset{\epsilon}{\cancel{\kappa}} \epsilon_0$$

$$\boxed{\vec{D} = \epsilon \vec{E}} \quad \epsilon = \kappa \epsilon_0 //$$

$$P = \frac{q'}{A} = \frac{q}{A} - \frac{q}{\kappa A} = \frac{q}{A} \left(1 - \frac{1}{\kappa} \right) = D \left(1 - \frac{1}{\kappa} \right)$$

$$= \epsilon E \left(1 - \frac{1}{\kappa} \right) = \frac{\epsilon E}{\kappa} (\kappa - 1) = \epsilon_0 \bar{E} (\kappa - 1)$$

$$\boxed{\vec{P} = \epsilon_0 (\kappa - 1) \vec{E}}$$

$$\oint \epsilon \vec{E} \cdot d\vec{s} = q \Rightarrow \boxed{\oint \vec{D} \cdot d\vec{s} = q}$$

so as cargas livres.

\vec{E} está associado a todos os corpos (livres e de polarização)

\vec{D} está associado apenas aos corpos livres.

\vec{P} está associado apenas a corpos de polarização.

- $\vec{D} = \epsilon \vec{E}$ $\epsilon = \kappa \epsilon_0$

- $\vec{P} = (\kappa - 1) \epsilon_0 \vec{E}$

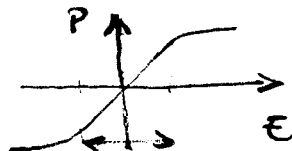
- $\vec{D} = \epsilon_0 \vec{E} + \vec{P}$

Para campos elétricos relativamente fracos

$$\vec{P} \propto \vec{E}$$

$$\vec{P} = \epsilon_0 \chi \vec{E}$$

Em geral



'regime linear'

χ = susceptibilidade elétrica do meio; quanto maior for χ maior sera' a polarização do meio

$$\vec{D} = \epsilon_0 \vec{E} + \kappa \epsilon_0 \vec{E} = \epsilon_0 (\vec{E} + \vec{P})$$

$$\vec{P} = \epsilon_0 (\kappa - 1) \vec{E} = \epsilon_0 \chi \vec{E} \Rightarrow$$

$$\chi = \kappa - 1 \quad \text{ou} \quad \boxed{\kappa = 1 + \chi}$$

relações entre a constante dieletrica
e a susceptibilidade elétrica do meio

Façam os exercícios 1-10 como exercícios, +

Problemas 30.10, 30.16, 30.46, 30.48, 30.54